

# Реализация нейронной сети FFNN для анализа и классификации геометрических фигур

## Условие

Написать программу моделирования нейронных сетей (НС) заданного типа и показать их работоспособность на практических примерах использования НС для указанной задачи. Параметры НС представлены в таблице 1.

Таблица 1. Параметры модели

Вход	Изображения на некотором фоне одной из 5 геометрических фигур
Выход	Какая фигура
Тип НС	FFNN
Ns	Число элементов в скрытом слое

## 1 Постановка задачи, связанной с практическим применением НС

Компьютерное зрение на основе методов распознавания геометрической формы получило широкое распространение на производстве в таких областях как промышленный осмотр, идентификация, и автоматический контроль качества продукции. В задаче автоматической сборки, значительный объем информации о детали необходимо распознавать и классифицировать, а ее ориентация должна быть автоматически определена, прежде чем робот (манипулятор) сможет ухватиться за изделие или его часть. Также применяются методы распознавания формы для оптического распознавания символов, рукописного текста, а также медицинских изображений, и.т.д. [4].

*Базовой задачей*, предворяющей перечисленные выше, является задача распознавания и классификации плоских геометрических фигур таких как треугольник, квадрат, пятиугольник, шестиугольник и круг (многоугольник с количеством сторон  $\sim 100$ ).

## 2 Описание теоретической базы рассматриваемой модели НС

Нейронные сети прямого распространения (feed forward neural networks, **FF** или **FFNN**) передают информацию от входа к выходу [1]. Сети **FFNN**, описываются в виде набора слоёв клеток (нейронов). Причём, существуют входные, скрытые и выходные слои (рис. 1) Нейроны одного слоя не связаны между собой, а соседние слои обычно связаны полностью (каждый с каждым). В данной работе будем рассматривать только полносвязные **FFNN**.

Самая простая нейронная сеть имеет два входных нейрона и один выходной, и может использоваться, например, в качестве модели логических вентилей. **FFNN** обычно обучается по методу *обратного распространения ошибки*, в котором сеть получает множества входных и выходных данных (множества пар: вектор входных значений; соответствующий ему вектор выходных значений). Этот процесс называется обучением с учителем, и

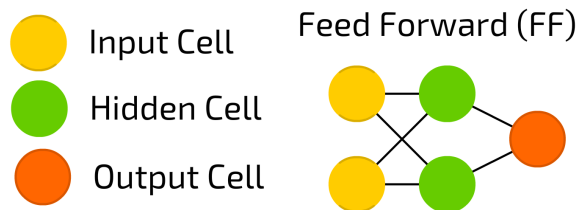


Рис. 1. НС прямого распространения [2]

он отличается от обучения без учителя тем, что во втором случае множество выходных данных сеть составляет самостоятельно.

Упомянутая выше *ошибка* является разницей между вводом и выводом. Если у сети есть достаточное количество скрытых нейронов, она теоретически способна смоделировать взаимодействие между входным и выходными данными.

На практике такие сети используются редко, но их часто комбинируют с другими типами для получения новых.

Рассмотрим вычисления в рамках одного нейрона FFNN.

### Активация нейрона и вычисление выхода

Активация нейрона происходит по правилу (1) в векторном виде

$$a(x) = b + \mathbf{w}^T \mathbf{x}. \quad (1)$$

Здесь  $\mathbf{x}$  — входной вектор,  $\mathbf{w}$  — вектор весовых коэффициентов,  $b$  — отклонение (bias).

Активационные функции  $g(x)$  бывают разных видов. Наиболее распространенными являются *сигмоида*, приведена на рис. 2,

$$g(x) = \text{sigm } x = \frac{1}{1 + \exp(-x)}, \quad (2)$$

и *гиперболический тангенс*, на рис. 3

$$g(x) = \tanh x = \frac{\exp(2x) - 1}{\exp(2x) + 1}. \quad (3)$$

В качестве активационной функции также используется функция (4) вида

$$g(x) = \begin{cases} 1, & \mathbf{w}^T \mathbf{x} > \varepsilon, \\ 0, & \mathbf{w}^T \mathbf{x} \leq \varepsilon, \end{cases} \quad (4)$$

где  $\varepsilon$  — пороговое значение (*threshold*).

Результат (конечный выход нейрона)  $h(x)$  вычисляется (5) подстановкой

$$h(x) = g(a(x)) = g(b + \mathbf{w}^T \mathbf{x}). \quad (5)$$

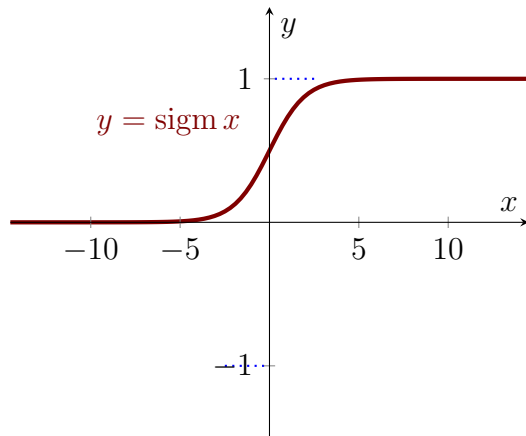


Рис. 2. Сигмоида

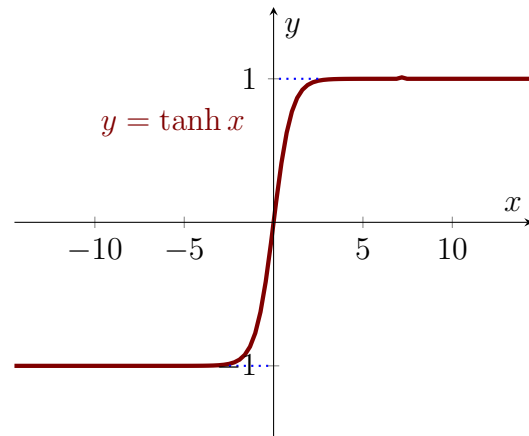


Рис. 3. Гиперболический тангенс

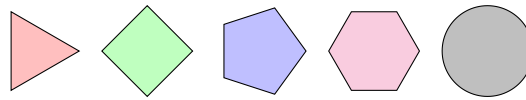


Рис. 4. n-угольники

### 3 Описание разработанных ПМ и решение задачи

Для решения поставленной задачи распознавания геометрических фигур на фоне различных цветов с помощью FFNN нейронной сети реализуем обучающую и тестовую выборки изображений. В качестве геометрических фигур рассмотрим правильные  $n$ -угольники. Для  $n = 3$  — треугольник,  $n = 4$  — квадрат,  $n = 5$  — пятиугольник,  $n = 6$  — шестиугольник и  $n = 100$  — круг (представлены на рис. 4).

Был реализован алгоритм, позволяющий получить изображения указанных геометрических фигур различных размеров и цветов. Предусмотрена возможность поворота фигуры на некоторый случайный угол.

#### Файлы Matlab:

```
gen_set_of_ngons.m  
gen_ngon_image.m  
run_gen_ngon.m
```

После того, как изображения были сгенерированы и сохранены на жестком диске, скомпануем по ним сами выборки.

#### Выборка № 1 "Сложная"

Всего 70 тысяч примеров — изображений размером  $28 \times 28$  пикселей, по 14 тысяч на каждую фигуру. При этом 60 тысяч отнесем к обучающей выборке, а оставшиеся 10 — к тестовой (валидационной).

Фигуры расположены произвольно относительно центра изображения, произведён поворот на случайный угол. Цвет фигуры и цвет фона также случайные, см. рис. 5.

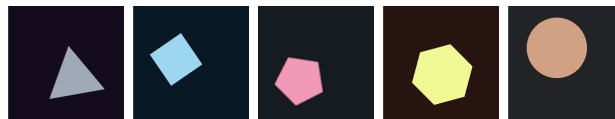


Рис. 5. Примеры сгенерированных фигур

Все цветные изображения переведем в оттенки серого и преобразуем в одномерный массив длиной 784 элемента. Размер выборки такой же, как и в задаче распознавания FFNN, – сетью рукописных цифр MNIST. В типовом решении последней задачи используются следующие параметры персептрона:

- число входов нейронной сети: 784 ( $= 28 \times 28$ );
- число нейронов в скрытом слое: 100;
- число выходных нейронов: 10 (по одному на каждую цифру) с выходным значением от 0 до 1.

Такая сеть тренируется на парах  $(I_j, v_j)$ , где  $I_j$  –  $j$ -е изображение цифры,  $v_j$  – соответствующий ему вектор–метка. Будем использовать те же параметры.

В качестве вектора  $v_j$  примем: *треугольник* –  $[1, 0, 0, 0, 0]$ ; *квадрат* –  $[0, 1, 0, 0, 0]$ ; *круг* –  $[0, 0, 1, 0, 0]$ ; *пятиугольник* –  $[0, 0, 0, 1, 0]$ ; *шестиугольник* –  $[0, 0, 0, 0, 1]$ .

## Выборка № 2 ”Упрощённая”

Содержит 20 тысяч примеров фигур с фиксированными положением, размером и цветом. От изображения к изображению меняется только цвет фона. Данная выборка представляет собой максимально упрощённый вариант выборки № 1. Как и ранее, все изображения переводятся в оттенки серого и преобразуются в одномерный массив длиной 784 элемента.

## Обучение

Для достижения приемлемых результатов распознавания, необходима дополнительная предобработка полученных выборок изображений. До приведения их к одномерному массиву, из общих соображений, желательно минимизировать пространство, занимаемое фоном. Также фигуры желательно центрировать. После преобразования в массив – необходимо привести имеющиеся значения к единому диапазону, например  $[0, 1]$  или  $[-1, 1]$ .

Одним из наиболее простых и быстрых решений для дополнительной предобработки обучающей выборки в данной задаче, по мнению автора, является преобразование Фурье. В Matlab:

```
Y = fft2(I); % двумерное преобразование Фурье.\\  
% I - матрица/изображение -> Y - спектр.
```

Результатом данной операции является матрица `complex double`. Разместим нулевую компоненту в центре спектра, а затем возьмём модуль комплексного числа для дальнейшей работы с действительными значениями:

```
I = abs(fftshift(Y));
```

Рассмотрим спектры изображений треугольника, квадрата, и круга, соответственно (представлены на рис. 6)

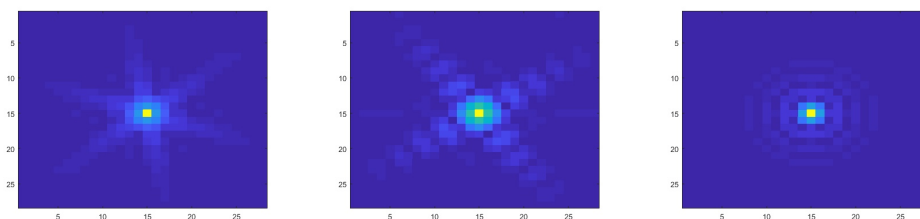


Рис. 6. Спектры изображений некоторых фигур

**Файл Matlab:**

`load_dataset.m`

В данной работе производились попытки обучить **FFNN**— сеть как на самих изображениях (без использования преобразования Фурье), так и на 2D спектрах этих изображений. В обоих случаях конфигурация нейронной сети совпадала.

Приведем полученную статистику распознавания на множестве примеров, не входивших в число тех, что были использованы непосредственно в процессе обучения. Сгенерируем новые примеры отдельно от существующих обучающих и валидационных выборок.

**Файл Matlab:**

`load_testdataset.m`

**”Упрощённый” случай**

Конфигурация: 784 входа, 100 нейронов в скрытом слое, 5 выходных нейронов. **TrainFcn**: градиентный спуск. Функция активации нейронов скрытого слоя: сигмоида.

Для успешного обучения по упрощённой выборке (№ 2) достаточно использовать небольшое число обучающих примеров. Здесь не возникает необходимости, например, с целью улучшения качества распознавания добавлять к исходным данным изображений какие-либо дополнительные характеристики и коэффициенты. Предложенный подход с Фурье-преобразованием не даёт лучшие результаты по сравнению с простым подходом, заключающимся в прямой подаче развёрнутого изображения на вход персептрона. Процент распознавания близок к 100%.

**”Сложный” случай**

Конфигурация: 784 входа, 100 нейронов в скрытом слое, 5 выходных нейронов. **TrainFcn**: градиентный спуск. Функция активации нейронов скрытого слоя: сигмоида.

Размер обучающей выборки: 5000 ед.	
Обучение на изображениях	297/1000 примеров распознано корректно 703 — некорректно
Обучение на Фурье-спектрах	802/1000 примеров распознано корректно 198 — некорректно
Размер обучающей выборки: 70000 ед.	
Обучение на изображениях (рис. 7)	291/1000 примеров распознано корректно 709 — некорректно
Обучение на изображениях (рис. 8)	710/1000 примеров распознано корректно 290 — некорректно

### Файл в Matlab:

train\_ffnn.m

Результаты расчетов показывают, что в "сложном" случае подход с Фурье – преобразованием заметно выигрывает.

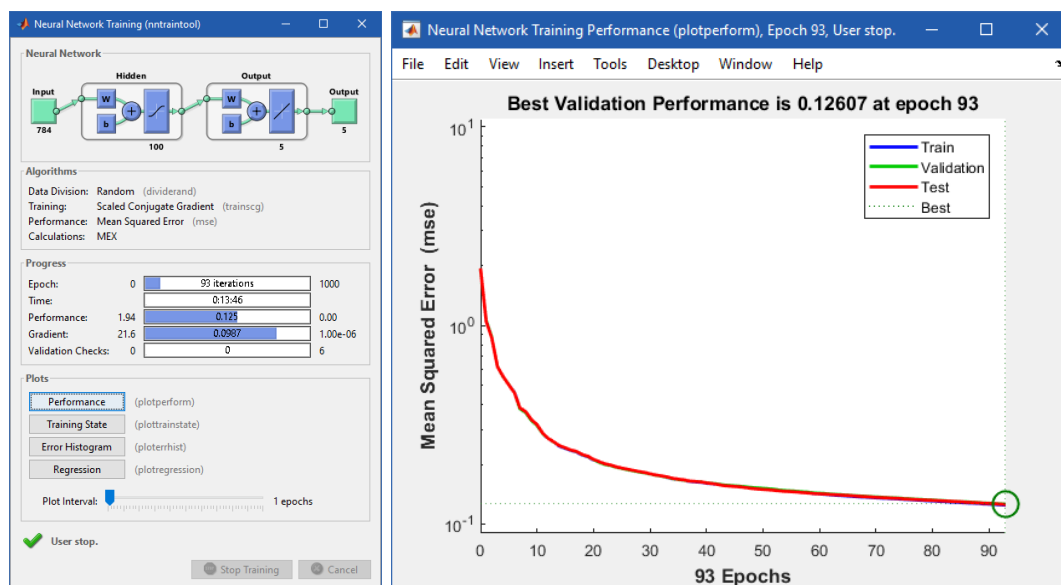


Рис. 7. Инструменты MATLAB. Обучение на изображениях (70000 примеров)

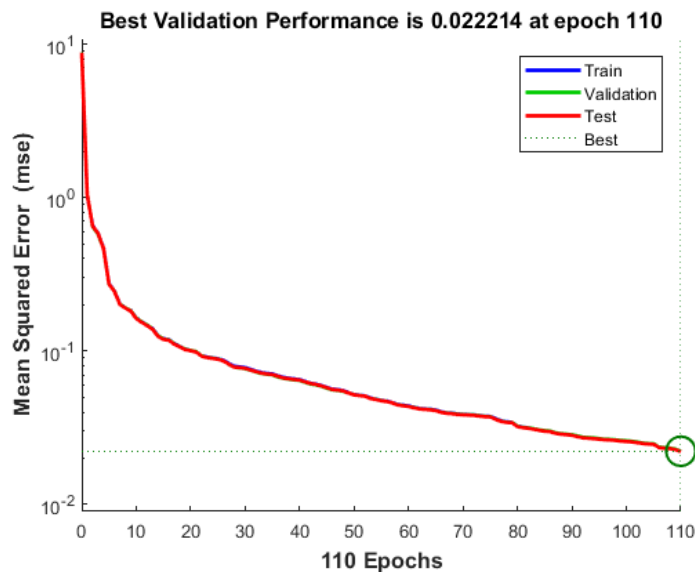
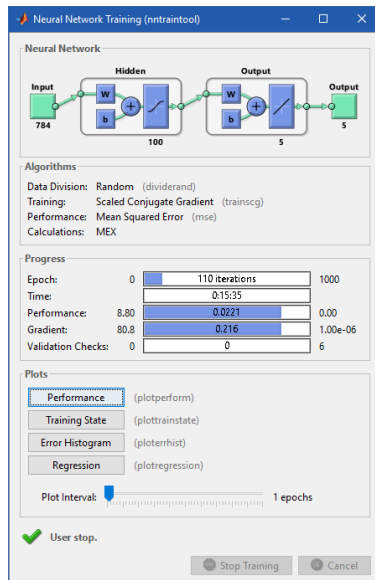


Рис. 8. Инструменты MATLAB. Обучение на Фурье-спектрах (70000 примеров)

## Третий подход

Имея на руках два двумерных массива ( $2 \times 28 \times 28$ ) получим набор из 112-ти коэффициентов по следующему правилу:

- |             |   |   |
|-------------|---|---|
| 1й коэфф.   | - | сумма всех элементов 1й строки 1го массива    |
| 2й коэфф.   | - | сумма всех элементов 2й строки 1го массива    |
| 28й коэфф.  | - | сумма всех элементов 28й строки 1го массива   |
| 29й коэфф.  | - | сумма всех элементов 1го столбца 1го массива  |
| ...         | - | ...   |
| 56й коэфф.  | - | сумма всех элементов 28го столбца 1го массива |
| 57й коэфф.  | - | сумма всех элементов 1й строки 2го массива    |
| ...         | - | ...   |
| 112й коэфф. | - | сумма всех элементов 28го столбца 2го массива |

Для каждого рассматриваемого  $n$  – угольника набор полученных таким образом коэффициентов будет отличаться. Например, для круга (рис.9):

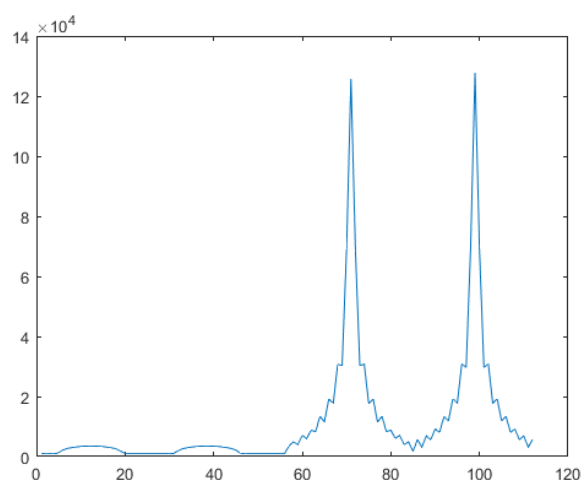


Рис. 9. Введённые коэффициенты для круга

Тогда как для шестиугольника (рис. 10):

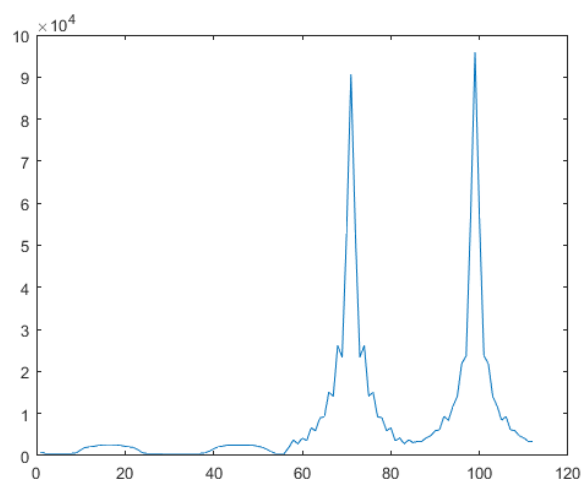


Рис. 10. Введённые коэффициенты для шестиугольника

Обрезав значения по уровню  $3 \cdot 10^4$  и отнормировав коэффициенты в диапазоне  $[0, 1]$ , обучим на полученных данных нейронную сеть следующей конфигурации: 112 входов, 56 нейронов в скрытом слое, 5 выходных нейронов. Метод: градиентный спуск. Функция активации нейронов скрытого слоя: сигмоида.

Результаты распознавания следующие:



Размер обучающей выборки: 5000 ед.	
Обучение на изображениях	297/1000 примеров распознано корректно 703 — некорректно
Третий подход	738/1000 примеров распознано корректно 262 — некорректно
Размер обучающей выборки: 70000 ед.	
Обучение на изображениях	297/1000 примеров распознано корректно 703 — некорректно
Обучение на Фурье-спектрах	736/1000 примеров распознано корректно 264 — некорректно

## Дополнительно

При решении многих задач классификации имеет смысл разбить исходную задачу на множество подзадач. Сеть, классифицирующая имеющиеся данные по 3-ем классам может быть заменена на 3 сети, решающими задачу классификации по 2-м классам. Для задачи с  $k$  классами количество подзадач составит (из комбинаторики):

$$C_n^k = \frac{n!}{k!(n-k)!}.$$

То есть, в нашем случае для 5-ти классов имеем 10 подзадач: На рис. 11 приведены три из них.

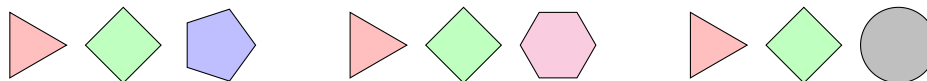


Рис. 11. Первые три из десяти подзадач

## 4 Альтернативные способы решения

Альтернативными являются два подхода классификации фигур, которые во многом противоположны друг другу.

**Первым подходом** является подход на основе спектрального анализа [5]. Представление формы объекта на основе *Фурье дескрипторов* легко организовать в плане вычислений, а результаты будут устойчивы к внешнему шуму. Фурье дескрипторы получаются при помощи преобразования Фурье, применённого к *сигнатуре формы объекта*, границе объекта как одномерной функции.

Существуют и другие сигнатуры формы, например, расстояние от центра объекта (в пикселях) до остальных пикселей, кривизна границы и кумулятивный угол. Геометрические характеристики (инварианты) объекта определяются на этапе определения сигнатуры формы объекта, который может происходить как до Фурье преобразования, так и после. При этом, нижние частоты дескрипторов содержат информацию о форме объекта, а верхние частоты о деталях.

**Вторым подходом** является геометрический подход, который предполагает выделение контура [6]. Он основывается на разработке дескрипторов формы малого разрешения, которые могут быть устойчивы к поворотам, масштабированию и деформации объекта.

В таком подходе граница объекта разбивается на составные части (сегменты), каждая из которых далее описывается при помощи того или иного дескриптора. После чего для

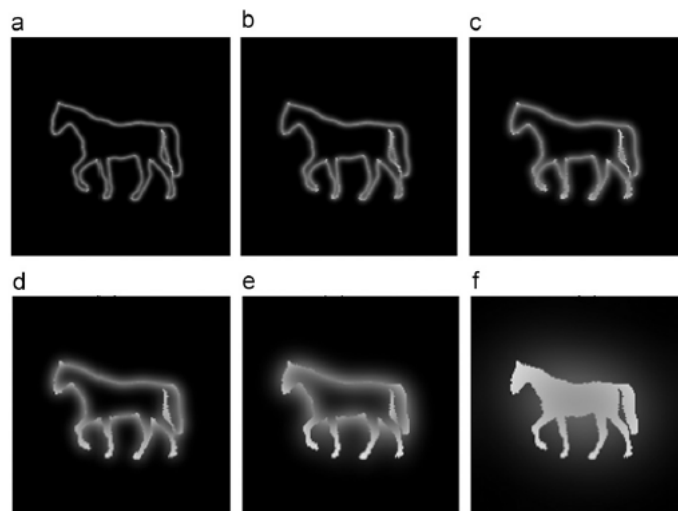


Рис. 12. Пример обработки изображения лошади [5]

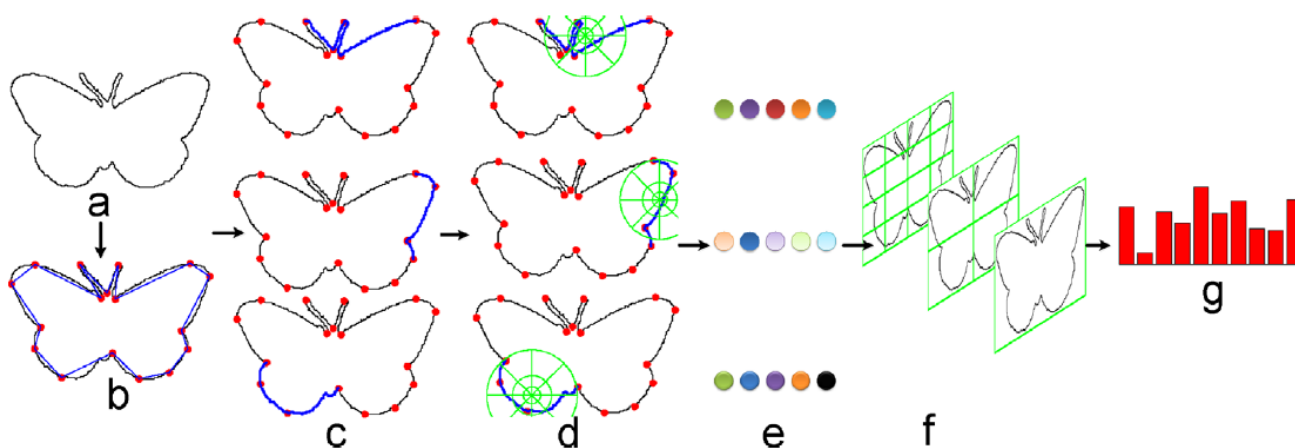


Рис. 13. Пример обработки изображения бабочки [6]

решения задачи классификации применяются методы машинного обучения, например, метод опорных векторов [7].

## 5 Области применения НС заданного типа

НС FFNN применяются везде, где встречаются простые задачи кластеризации. Также, FFNN применимы в качестве простейших фильтров для обработки как изображений, так и одномерных сигналов.

Для большей производительности и улучшения качества распознавания/кластеризации в FFNN-сети добавляют множество свёрточных слоёв.

## Список литературы

- [1] F. Rosenblatt, The Perceptron: A Probabilistic Model for Information Storage and Organization in The Brain. *Psychological Review*, 65(6), 1958, pp. 386–408. DOI: 10.1037/h0042519
- [2] Шпаргалка по разновидностям нейронных сетей. Часть первая. Элементарные конфигурации. URL: <https://tproger.ru/translations/neural-network-zoo-1/>
- [3] A simple example of feedforward neural network and image recognition. URL: <https://dummas.wordpress.com/2012/01/14/a-simple-example-of-feedforward-neural-network-with-image-recognition/>
- [4] Tung-Hsu Hou and Ming-Der Pern, A Computer Vision-Based Shape-Classification System Using Image Projection and a Neural Network. *Int. J. Adv. Manuf. Technol.*, 15, 1999, pp. 843–850. DOI: 10.1007/s001700050141
- [5] Cem Direkçöglu, Mark S. Nixon, Shape classification via image-based multiscale description. *Pattern Recognition*, 44, 2011, pp. 2134–2146. DOI: 10.1016/j.patcog.2011.02.016
- [6] Xinggang Wang, Bin Feng, et.al., Bag of contour fragments for robust shape classification. *Pattern Recognition*, 47, 2014, pp. 2116–2125. DOI: 10.1016/j.patcog.2013.12.008
- [7] К.В. Воронцов. Лекции по методу опорных векторов. URL: <http://www.ccas.ru/voron/download/SVM.pdf>

## Тексты программ

### gen\_set\_of\_ngons

```
1 function gen_set_of_ngons(number_of_images, nS, folder, baseFileName, shift)
2
3 % for k = 1:number_of_images
4 % shift = 20000;
5 parfor k = 1+shift:number_of_images+shift
6 img = gen_ngon_image(nS);
7 fullFileName = [folder baseFileName '-' int2str(k) '.png'];
8 save_image(folder, baseFileName, fullFileName, img.cdata);
9 disp([int2str(k) '/' int2str(number_of_images+shift)])
10 end %for k
```

### gen\_ngon\_image.m

```
1 function out = gen_ngon_image(n)
2
3 %% Suppose that domain is [0 100]x[0 100] square
4 dom = [0 100 0 100];
5
6 % Center of n-polygon
7 xC = randi([35 65],1,1);
8 yC = randi([35 65],1,1);
9 center = [xC yC];
10 nS = n; % number of sides of n-gon
11 th = linspace(0, 2*pi, nS + 1);
12 % Rotate the shape by subtracting an offset.
13 rot = randi([1 20],1,1);
14 th = th - pi/rot;
15 R = randi([20 30],1,1);
16 x = R * cos(th) + center(1);
17 y = R * sin(th) + center(2);
18
19 %% Show image
20 figure_color = 0.5 + 0.5 * rand(1,3);
21 % figure_color = [0 0 1];
22 background_color = 0.2*rand(1,3);
23
24 h = fill(x, y, figure_color);
25 set(h, 'edgecolor', figure_color);
26 ax = gca;
27 set(ax, 'xtick', []); set(ax, 'ytick', []);
28
29 ax.XColor = background_color; ax.YColor = background_color;
30 axis square; axis(dom);
31 set(ax, 'Color', background_color)
32
33 img = getframe(gca);
34 out = img;
```

### run\_gen\_ngons.m

```
1 clear all; close all; clc;
2
3 % Get path
```

```
4 CurrentFolder = pwd;
5
6
7 % Generate ngon image
8 number_of_images = 15000;
9 shift = 20000;
10
11 % Generate set of 3-gons
12 nS = 4;
13 folder = [CurrentFolder '\_img\_\' int2str(nS) '-gone\'];
14 mkdir_if_not_exist(folder);
15 baseFileName = [int2str(nS) '-gone'];
16 gen_set_of_ngons(number_of_images, nS, folder, baseFileName, shift);
```

load\_dataset.m

```
1 triangleFolder = '_img_/3-gone/';           % label: 1
2 rectangleFolder = '_img_/4-gone/';          % label: 2
3 circleFolder = '_img_/100-gone/';           % label: 3
4 pentagonFolder = '_img_/5-gone/';           % label: 4
5 hexagonFolder = '_img_/6-gone/';            % label: 5
6
7 % get list of files
8 dirData = dir(triangleFolder);
9 dirIndex = [dirData.isdir];
10 fileListTriangles = {dirData(~dirIndex).name}';
11 ...
12
13 % number of elements in training dataset
14 N = 14000;
15
16 % initialization of image arrays
17 trianglesI = zeros(784, N);
18 rectanglesI = zeros(784, N);
19 circlesI = zeros(784, N);
20 ...
21 % initialization of labels
22 trianglesL = zeros(1, N);
23 rectanglesL = zeros(1, N);
24 ...
25
26 % read data from file
27 k = 1;
28 for i = 1:N
29 fpath = strcat(triangleFolder, fileListTriangles{i});
30 disp(fpath);
31 I = imread(fpath);
32 I = imresize(I, [28 28]); % resize to 28x28 domain
33 I = fft2(I); % make FFT
34 % reshape to 1D array
35 % put 0 component to the center
36 trianglesI(:, k) = reshape(abs(fftshift(I(:, :, 1))), [784, 1]);
37 % put labels
38 trianglesL(k) = 1;
39 k = k + 1;
40
41 ...
42 end
43
```

```
44 N3 = 3 * N;      % 42 000
45 N5 = 5 * N;      % 70 000
46 % reinitialization of training dataset no.1
47 DataSet_Images_Total = zeros(1, 784, N5); % all images
48 DataSet_Labels_Total = zeros(1, 5, N5); % labels
49 DataSet_Labels_1_Total = zeros(1, 1, N5);
50
51 % reinitialization of training dataset no.2
52 DataSet_Images = zeros(10, 784, N3); % images (10 groups/subtasks)
53 DataSet_Labels = zeros(10, 3, N3); % labels
54 DataSet_Labels_1 = zeros(10, 1, N3);
55
56 % Fill training dataset no.1 (without separation on subtasks)
57 k = 1;
58 for i = 1:N
59     DataSet_Images_Total(:, k) = trianglesI(:, i);
60
61     % Scalar labels (FFNN with 1 output)
62     % 1 - 3-gone, 2 - 4-gone, 3 - 100-gone,
63     % 4 - 5-gone, 5 - 6-gone
64     DataSet_Labels_1_Total(k) = 1;
65
66     % Vector labels (FFNN with 5 output)
67     DataSet_Labels_Total(1,:,k) = [1 0 0 0 0];
68     k = k + 1;
69
70     ...
71     DataSet_Images_Total(:, k) = pentagonesI(:, i);
72     DataSet_Labels_1_Total(k) = 4;
73     DataSet_Labels_Total(1,:,k) = [0 0 0 1 0];
74     k = k + 1;
75     DataSet_Images_Total(:, k) = hexagonesI(:, i);
76     DataSet_Labels_1_Total(k) = 5;
77     DataSet_Labels_Total(1,:,k) = [0 0 0 0 1];
78     k = k + 1;
79 end
80
81 % Fill training dataset no.2 (without separation on subtasks)
82 % UNIT 1
83 k = 1;
84 for i = 1:N
85     DataSet_Images(1, :, k) = trianglesI(:, i);
86     DataSet_Labels(1, :, k) = [1 0 0]; % 3 neurons in the output layer
87     DataSet_Labels_1(1, :, k) = 1;
88     k = k + 1;
89 end
90 for i = 1:N
91     DataSet_Images(1, :, k) = rectanglesI(:, i);
92     DataSet_Labels(1, :, k) = [0 1 0];
93     DataSet_Labels_1(1, :, k) = 0;
94     k = k + 1;
95 end
96 for i = 1:N
97     DataSet_Images(1, :, k) = pentagonesI(:, i);
98     DataSet_Labels(1, :, k) = [0 0 1];
99     DataSet_Labels_1(1, :, k) = -1;
100    k = k + 1;
101 end
102
```

103 ...

train\_ffnn.m

```
1 % Train function
2 trainFcn = 'trainscg';
3 % trainFcn = 'traingd';
4 % trainFcn = 'trainb';
5
6 % Construct Global NN
7 net = feedforwardnet(128, trainFcn);
8 net.layers{1}.transferFcn = 'tansig'; % activation func
9
10 % Construct Partial NNs
11 net1 = feedforwardnet(100, trainFcn);
12 net2 = feedforwardnet(100, trainFcn);
13 net3 = feedforwardnet(100, trainFcn);
14 ...
15
16 % Go & Train
17 % Global
18 images = squeeze(DataSet_Images(1, :, :));
19 labels = squeeze(DataSet_Labels(1, :, :));
20 [net, tr] = train(net1, images, labels);
21
22 % Partial
23 % unit 1
24 images = squeeze(DataSet_Images(1, :, :));
25 labels = squeeze(DataSet_Labels(1, :, :));
26 [net1, tr1] = train(net1, images, labels);
27 % unit 2
28 images = squeeze(DataSet_Images(2, :, :));
29 labels = squeeze(DataSet_Labels(2, :, :));
30 [net2, tr2] = train(net2, images, labels);
31
32 ...
```

## Содержание

1	Постановка задачи, связанной с практическим применением НС	1
2	Описание теоретической базы рассматриваемой модели НС	1
3	Описание разработанных ПМ и решение задачи	3
4	Альтернативные способы решения	9
5	Области применения НС заданного типа	10
	Список литературы	11
	Тексты программ	12